ENVIRONMENTAL SCIENCE

第 45 卷 第 2 期 2024 年 2 月 15 日

目 次

疫情期间人为源减排对城市大气氧化性的影响 ····································
不同天气形势对南京地区双高污染的输送及潜在源区分析秦阳,胡建林,孔海江(626)
不同方法判定南京臭氧生成敏感区的差异
2006~2021年夏半年上海臭氧浓度特征及其大气环流背景分析 ··········郑庆锋, 梁萍, 段玉森, 林燕芬, 张宋嘉, 徐卫忠 (645)
基于大气成分观测网的山西省近地面 0,体积分数分布特征 李莹,王淑敏,裴坤宁,闫世明,孙鸿娉,张逢生,高兴艾(655)
伊宁市夏季大气臭氧生成机制及减排策略
运城市四季 VOCs 特征、来源及臭氧形成敏感物种····································
应项中四学 VOCs 特征、米源及吴氧形放墩感物种
郑州市冬夏季污染过程中大气 VOCs 污染特征、来源解析及活性分析赖梦洁,张栋,于世杰,宋鑫帅,李晓,张瑞芹 (689)
郑州市 PM _{2.5} 中有机酸的污染特征、来源解析及二次生成 ························李子涵,董喆,尚璐琪,孔梓涵,李晓,张瑞芹(700)
中国三大城市群 PM, 5浓度非线性变化分析 ····································
基于 LEAP模型的临港新片区中长期碳排放预测及减排潜力分析 ··················吴琼,马吴,任洪波,郭明星,陈鹏,李琦芬(721)
郑州市 PM_{2} ,中有机酸的污染特征、来源解析及二次生成 — 李子涵,董喆,尚璐琪,孔梓涵,李晓,张瑞芹(700)中国三大城市群 PM_{2} ,浓度非线性变化分析 — 吴舒祺,顾杨旸,张天岳,赵文吉(709)基于 $LEAP$ 模型的临港新片区中长期碳排放预测及减排潜力分析 — 吴琼,马昊,任洪波,郭明星,陈鹏,李琦芬(721)碳交易背景下中国华北地区碳代谢格局变化 — 郑宏媚,沈方,许光耀,关欣(732)考虑区域特点和车型差异的氢燃料电池汽车全生命周期减碳预测分析 — 马菁,蔡旭,张春梅,兰利波,陈轶嵩,付佩(744)
老虎区域特占和车刑差异的复燃料由池汽车全生命周期减碳预测分析
我国主要河流水系硝态氮污染特征及定量源解析
不同时空尺度下土地利用结构与空间格局对苏州河水质的影响"潭娟,熊丽君,王卿,任志文,朱丹丹,王敏 (768)
深圳市 2015~2021年雨源型河流水质时空变化及其对降雨的响应
体列用 2013~2021 年限原型刊流小原时全受化及其对降限的响应
河南黄河改道区浅层地下水化学特征与主控污染源解析
北京西山岩溶地下水化学特征及成因分析郭高轩,代垠东,许亮,朱琳,欧志亮,戚琦,辛宝东(802)
店埠河流域地表水-地下水水化学特征及其成因分析
张家口地区枯水期地下水水化学特征及其成因机制分析金爱芳,殷秀兰,李长青,李文娟,庞菊梅,金晓媚(826)
黄河中下游典型抗性细菌及抗性基因污染分布 ····································
制药废水中抗生素抗性的污染特征、检测手段和控制方法 ····································
水体组分对聚苯乙烯纳米颗粒聚沉行为的影响。
水体组分对聚苯乙烯纳米颗粒聚沉行为的影响····································
壳聚糖改性生物炭的制备及其对水溶液中 Cd ^{2*} 的吸附机制 ············姜凌,安靖玥,岳小琼,李亚雄,夏秋乐,祝婷文佳,柴丽红(873)
硼掺杂介孔炭吸附四环素的效能与机制
磁性含磷油茶壳生物炭对水中磺胺甲噁唑的吸附特性 韩帅鹏, 唐李文, 刘勤, 林家亮, 李晓慢, 程建华, 胡勇有 (898)
广东省高分辨率温室气体排放清单及特征…卢清, 唐明双, 廖彤, 黄志炯, 钟庄敏, 宋佩珊, 沈劲, 张智胜, 梁小明, 孙家仁, 陈来国 (909)
了,有一切开华通至飞体排放有单及存在。
生物炭施用两年后对热带地区稻菜轮作土壤 N ₂ O 和 CH ₄ 排放的影响 ··········胡煜杰, 唐瑞杰, 胡天怡, 陈绮琦, 汤水荣, 伍延正, 孟磊 (929)
生物炭改良盐碱地研究与应用进展
免耕对农田土壤团聚体的影响研究:Meta分析徐艺萍,饶越悦,孟艳,温媛,孟维伟,王旭清,李宗新,刘开昌,代红翠 (952)
黔中喀斯特地区典型县域碳储量时空演变及多情景模拟预测:以普定县为例李月,罗红芬(961)
不同改良剂对酸性紫色土团聚体和有机碳的影响 ···········李越,徐曼,谢永红,王颖,黄容,谢军,王子芳,高明 (974) Ca改性生物炭对土壤磷赋存形态影响及稳定化机制 ····································
Ca改性生物炭对土壤磷赋存形态影响及稳定化机制 ····································
秦岭中段不同恢复阶段弃耕农田植物多样性变化及其驱动因素。闫成龙,薛悦,王艺菲,康海斌,王得祥 (992)
我国典型制药厂污染场地中抗生素的污染特征及生态风险杨炯彬,黄争,赵建亮,何良英,刘有胜,胡立新,石义静,应光国(1004)
广州市土壤多环芳烃污染特征及风险评估…邹子航,陈莲,张培珍,王雨菡,王振江,林森,唐翠明,罗国庆,钟建武,李智毅,王圆(1015)
基于源导向的土壤重金属风险评价及管控因子分析
基于 Monte-Carlo 模拟的湖南省典型丁厂周边农田土壤重金属区域潜在生态风险特征及来源解析
罗豪杰,潘俊,陈小霞,张敏,沈良辰,李歆,丁平,蔡丹,蔡立梅,胡国成(1038)
基于参数优化和蒙特卡罗模拟的砷污染地块健康风险评估
基于 APCS-MLR 和 PMF 模型的赤泥堆场周边耕地土壤重金属污染源解析
·····································
PE-Cd 复合污染土壤中 Cd 释放迁移特征及机制 ·································王迪,徐绍辉,邵明艳,林青(1069)
氯代乙烯的厌氧微生物还原脱氯特性 ·······························李伟,刘贵平,刘峻,吕良华,乔文静,余欣,张晓旸,蒋建东(1080)
昭通市农田土壤和蔬菜重金属污染评价及相关性分析张好, 董春雨, 杨海婵, 孙思静, 韩宇, 黄祖志, 张乃明, 包立 (1090)
钝化剂对轻中度镉污染农田的安全利用效果王晓晶,张东明,曹阳,吕家珑,代允超(1098)
氧化石墨烯负载铁锰复合材料对镉砷污染土壤的钝化修复袁婧,吴骥子,连斌,袁峰,孙淇,田欣,赵科理(1107)
关键生育期施加外源锌灌溉水对水稻镉吸收转运的影响周霞,胡雨丹,周航,陈琼,谭文韬,曾鹏,辜娇峰,廖柏寒(1118)
外源锌对镉胁迫下玉米幼苗生长及根系构型分级的影响张辉红,魏畅,柳海涛,张静静,刘芳,赵颖,张雪海,李鸽子,姜瑛(1128)
稀土元素铈对锌胁迫下小麦幼苗生长的缓解效应 …张静静,徐正阳,焦秋娟,范丽娜,刘芳,赵颖,宋佳,化党领,李鸽子,柳海涛(1141)
根施伯克氏菌对小麦镉吸收转运的两段式阻控作用郭佳佳,王常荣,刘仲齐,黄青青,张长波,黄永春,薛卫杰,孙约兵(1150)
高密度聚乙烯微塑料与氯嘧磺隆对大豆生长和根际细菌群落的复合胁迫效应
·····································
微塑料的人体富集及毒性机制研究进展包亚博,王成尘,彭吾光,侬代倩,向萍(1173)
机器学习在微塑料识别与环境风险评估中的应用研究进展自润昊, 范瑞琪, 刘琪, 刘勤, 严昌荣, 崔吉晓, 何文清(1185)
微塑料与农田土壤中典型污染物的复合污染研究进展
水中微/纳塑料电化学检测及去除的研究进展
基于分布式认知理论的农户面源污染治理支付意愿影响因素
《环境科学》征订启事(825) 《环境科学》征稿简则(836) 信息(897,1106,1149)
パープルロ 寸 / 皿 四 戸 1023 /

不同改良剂对酸性紫色土团聚体和有机碳的影响

李越¹,徐曼¹,谢永红²,王颖³,黄容⁴,谢军¹,王子芳¹,高明^{1*}

(1. 西南大学资源环境学院,重庆 400715; 2. 重庆农科院果树所,重庆 401329; 3. 重庆市规划与自然资源局,重庆 401147; 4. 四川农业大学资源学院,成都 611130)

摘要:研究不同改良剂对酸性紫色土团聚体和有机碳变化特征的影响,为酸性紫色土修复提供科学依据.以紫色土为研究对象,设置不施肥(CK)、单施化肥(F)、化肥配施石灰(SF)、化肥配施有机肥(OM)、化肥配施生物炭(BF)和化肥配施酒糟灰渣(JZ)共6个处理.比较不同改良剂施用下酸性紫色土的团聚体组成情况,以及各粒级团聚体有机碳分布规律,结合团聚体稳定性指标,明确不同改良剂对酸化紫色土团聚体结构的影响.结果表明,施肥处理均显著提高土壤pH,以JZ处理效果最显著,施肥均显著提高土壤有机质含量,以OM处理效果最好,BF和OM处理显著降低土壤容重,同时SF和BF处理显著提高土壤含水率(P < 0.05);各处理均以 < 0.25 mm粒级团聚体为优势粒级,施肥能显著提高大团聚体(直径 > 0.25 mm的团聚状结构单位)的含量,同时施肥处理均显著提高了土壤几何平均直径(GMD)、平均重量直径(MWD)和 $R_{0.25}$ 值(> 0.25 mm 团聚体含量),降低分形维数(D)和团聚体破坏率(P < 0.05),促进了土壤团聚体的团聚化和稳定性,以OM处理效果最好;与CK处理相比,施肥能显著提高土壤有机碳含量 31.71% ~ 209.67%,其中以OM处理最显著;不同处理土壤有机碳主要分布在大团聚体中,与CK处理相比,各处理显著提高大团聚体中有机碳贡献率为 19.34% ~ 47.76%,其中OM处理效果最为显著(P < 0.05).综合来看,化肥配施有机肥能促进酸性紫色土大团聚体的形成,提高土壤团聚体稳定性,增加土壤有机碳含量,是改善酸性紫色土土壤结构和提升土壤质量的有效措施.

关键词:改良剂;紫色土;土壤酸化;土壤团聚体;土壤有机碳

中图分类号: X144 文献标识码: A 文章编号: 0250-3301(2024)02-0974-09 DOI: 10. 13227/j. hjkx. 202303246

Effects of Different Modifiers on Aggregates and Organic Carbon in Acidic Purple Soil

LI Yue¹, XU Man¹, XIE Yong-hong², WANG Ying³, HUANG Rong⁴, XIE Jun¹, WANG Zi-fang¹, GAO Ming^{1*}

(1. College of Resources and Environment, Southwest University, Chongqing 400715, China; 2. Fruit Tree Institute of Chongqing Academy of Agricultural Sciences, Chongqing 401329, China; 3. Chongqing Planning and Natural Resources Bureau, Chongqing 401147, China; 4. School of Resources, Sichuan Agricultural University, Chengdu 611130, China)

Abstract: The aim of this study was to examine the effects of different modifiers on the changes in aggregates and organic carbon in acidic purple soil, providing a scientific basis for the remediation of acidic purple soil. Using purple soil as the research object, a total of six treatments were set up, including no fertilization (CK), single fertilization (F), fertilization with lime (SF), fertilization with organic fertilizer (OM), fertilization with biochar (BF), and fertilization with distiller's grains ash (JZ). We compared the composition of aggregates in acidic purple soil under the application of different modifiers, as well as the distribution pattern of organic carbon in aggregates of different particle sizes. Combined with the stability indicators of aggregates, we sought to clarify the impact of different modifiers on the structure of aggregates in acidic purple soil. The results showed that fertilization significantly increased the soil pH, with the JZ treatment being the most effective. Fertilization significantly increased soil organic matter content, with the OM treatment showing the largest increase. The BF and OM treatments significantly reduced soil bulk density, whereas the SF and BF treatments significantly increased soil moisture content (P < 0.05). All treatments used < 0.25 mm aggregates as the dominant particle size. Fertilization could significantly increase the content of large aggregates (aggregate structure units with diameter > 0.25 mm aggregate content) and reduced the fractal cone number (D) and aggregate destruction rate (PAD) values (P < 0.05). Fertilization also promoted the aggregation and stability of soil aggregates, with the OM treatment showing the most significant change. Different treatments of soil organic carbon were mainly distributed in large aggregates. Compared with that in the CK treatment, each treatment significantly increased the contribution rate of organic carbon in large aggregates by 19. 34%-47.76%, with the OM treatment having the most signi

 $\textbf{Key words:} \ \operatorname{modifier;} \ \operatorname{purple \ soil}; \ \operatorname{soil \ acidification;} \ \operatorname{soil \ aggregate;} \ \operatorname{soil \ organic \ carbon}$

土壤结构对于维持土壤生态功能有着举足轻重的作用,团聚体间结构、团聚体内部结构和团聚体这三部分共同构成土壤结构整体^[1],因此团聚体常用于评价土壤结构好坏.土壤团聚体是在土壤矿物颗粒和有机质相互作用下形成的基本结构单元^[2],其分布特征与土壤中水分迁移、养分循环和物质交换、微生物活动等一系列物理化学生物过程密切相关,而

这些因素是决定土壤碳库变化的重要因子. 团聚体通过包裹土壤有机碳对其起到保护作用,提高土壤

收稿日期: 2023-03-28; 修订日期: 2023-04-28

基金项目: 重庆市技术创新与应用发展专项重点项目(cstc2019jscx-tjsbX0001);四川省自然科学基金项目(2022NSFSC0100)

作者简介: 李越(1999~),男,硕士研究生,主要研究方向为土壤质量与团聚体稳定特征,E-mail:ly417375272@163.com

* 通信作者, E-mail: gaoming@swu. edu. cn

的碳固存能力,阻止土壤碳流失^[3,4];同时,有学者研究发现,团聚体的周转与碳动力学有关^[5,6],土壤有机质是促进土壤团聚体形成的粘合剂,促进土壤团聚体的团聚化^[7-9].有研究表明,土壤酸化后不仅会影响土壤表面的组分电荷和某些营养元素的有效性^[10],还会降低土壤有机质含量,有机质在促进黏粒形成和提高团聚体稳定性方面具有关键作用^[11],土壤酸化后导致土壤水稳性团聚体结构遭到破坏,造成土壤板结和物理性状变差^[12],影响作物正常生长.

利用石灰、酒糟灰渣、有机肥和生物炭等材料 可修复酸化土壤,改善土壤物理结构. 石灰常用于改 良酸性土壤,Ave等[13]研究发现,施用石灰在改善农 田土壤酸度的同时能增强团聚体稳定性, Chan 等[14] 研究表明石灰能够阻止土壤结皮的形成,提高土壤 持水能力和团聚体的稳定性. 对于酒糟的利用而言, 已有的研究大多是酒糟基质化和饲料化方面,以酒 糟为原材料生产的生物质灰渣应用于土壤改良修复 的研究还鲜见报道. 有机物的输入对土壤有机碳和 土壤结构有重要影响,Alagöz等[15]研究发现施用有机 肥可以促进大团聚体形成和提高团聚体稳定性. 生 物炭拥有较多的表面官能团和丰富的孔隙结构,通 过影响土壤微生物活性、土壤孔隙度和有机碳含量 来促进土壤团聚体的形成. 生物质灰渣呈碱性,具有 容重小和疏松多孔等特性,这些特性使得其对土壤 的团粒结构及透气保湿性有一定的影响.有研究表 明,生物质灰渣施入土壤后对土壤中大团聚体数量 和团聚体稳定性有正向影响,阻止土壤物理结构退 化[16,17]. 然而针对紫色土的酸化特征,不同改良剂对 土壤结构的影响及有机碳的贡献尚不十分清楚.因 此,本文以酸化紫色土为研究对象,探究不同改良剂 下对酸化土壤团聚体组成和稳定性以及各粒级团聚 体有机碳分布的影响,以期为改善土壤物理结构、增 强土壤抗侵蚀能力、提高土壤耕地质量和开展农田 修复工作提供科学依据.

1 材料与方法

1.1 研究区概况

本试验地位于重庆市江津区慈云镇刁家(E106°13′03″,N29°07′13″),海拔320 m,地处江津区中部. 主要地形为低丘,属北半球亚热带季风湿润气候区,全年气候温和,年平均气温18.4℃,四季分明,雨量充沛,日照尚足. 年平均日照时数1300 h以上,年降雨量930 mm,无霜期341 d,太阳总辐射量3375.5 MJ·m⁻².

1.2 供试材料

供试土壤为紫色土. 初始土壤的基本理化性质

为:pH 4. 35, ω[有机质(SOM)]12. 89 g·kg⁻¹, ω[全氮(TN)]1. 15 g·kg⁻¹, ω[全磷(TN)]0. 88 g·kg⁻¹, ω[全钾(TK)]10. 31 g·kg⁻¹, ω[碱解氮(AN)]171. 93 mg·kg⁻¹, ω[有效磷(AP)]90. 67 mg·kg⁻¹, ω[速效钾(AK)]485. 4 mg·kg⁻¹.

供试花椒品种为九叶青花椒,树龄 3 a 左右,种植密度为 2 m×3 m. 供试改良剂中酒糟来源于江小白酒厂,经过高温限氧条件下燃烧后得到酒糟灰渣,基本性质为: pH 12. 6,电导率(EC) 4. 81 mS·cm⁻¹, ω (TN) 0. 08%, ω (P₂O₅) 0. 8%. 生物炭是由稻壳在 400~500℃条件下热解得到,基本性质为: pH 7. 28, EC 6. 39 mS·cm⁻¹, ω (TN) 0. 5%, ω (P₂O₅) 0. 1%. 有机肥购自史坦纳生物动力农业有限公司,主要由羊粪发酵而来,基本性质为: pH 8. 09, EC 2. 37 mS·cm⁻¹, ω (TN) 0. 57%, ω (P₂O₅) 1. 29%. 石灰为生石灰, pH 12. 59, EC 77. 9 μ S·cm⁻¹.

1.3 试验设计

本试验开展时间是 2021年 5 月至 2022年 6 月,设置 6 个处理:①不施肥(CK)、②常规施肥(F)、③化肥配施石灰(SF)、④化肥配施有机肥(OM)、⑤化肥配施生物炭(BF)和⑥化肥配施酒糟灰渣(JZ),各处理选取树冠和树势相近的 5 株花椒树作为供试植株,每个处理均设置 3 个重复,随机区组排列.

整个试验期一共施肥 4次,施肥时间根据当地施肥习惯确定,第 1次下枝肥,于 2021年 5月 10日施用,所有改良剂均一次性施入土壤;2021年 5月 20日施用化肥,沟施,保证各处理 N-P₂O₅-K₂O养分分别占总养分 50%-35%-35%.第 2次秋基肥于 2021年 10月 24日施用,沟施,各处理 N-P₂O₅-K₂O养分分别占总养分 15%-45%-15%.第 3次促花肥于 2022年 1月 12日施用,沟施,各处理 N-P₂O₅-K₂O养分分别占总养分 18%-10%-15%.第 4次壮果肥于 2022年 3月 7日施用,沟施,各处理 N-P₂O₅-K₂O养分分别占总养分 18%-10%-15%.第 4次壮果肥于 2022年 3月 7日施用,沟施,各处理 N-P₂O₅-K₂O养分分别占总养分 17%-10%-35%.试验施用的氮、磷、钾肥分别为尿素(N 46%)、过磷酸钙(P₂O₅12%)和硫酸钾(K₂O 52%),除 CK 处理外,其余施肥处理遵循"等氮等磷"原则,具体施用量见表 1.

1.4 测定方法

分别于 2021年5月10日、2021年10月24日、2022年3月7日和2022年6月11日采集土样,每次采样后均测定土壤pH. 第一次采集的土壤用于测定土壤的基本理化性质,第三次是在每0~20cm 耕层土壤上用环刀进行取样,用于测定土壤容重和含水率,第4次是试验后土样采集,每个处理3个重复,共15棵树,各个重复取坡上、坡中和坡下的花椒树左右两侧的土混合,3个重复均是如此.

表1 冬外理单株花椒饰即量1

Table 1	Fartilization amount	non plant of Zanthovylum I	bungeanum in each treatment

处理	N	$\mathrm{P_2O_5}$	K_2O	石灰	有机肥	生物炭	酒糟灰渣
CK	_	_	_	_	_	_	_
F	0.3	0.18	0.24	_	_	_	_
SF	0.3	0.18	0.24	1	_	_	_
OM	0.26	0.09	0.24	_	7	_	_
$_{ m BF}$	0.25	0.17	0.24	_	_	10	_
JZ	0.29	0.1	0.24	_	_	_	_

1)"一"表示没有该项肥料;数值单位为kg·株-1

1.4.1 土壤基本理化性质的测定

土壤容重和含水率采用环刀法;土壤pH采用DMP-2 mV酸度计测定,土水比为1:2.5;SOM采用重铬酸钾容量法($K_2Cr_2O_7$ - H_2SO_4 法);TN采用 H_2SO_4 - H_2O_2 消煮,蒸馏滴定法测定;AN采用碱解扩散法;NO $_3$ -N采用KCl溶液浸提,紫外分光光度法测定;N H_4 -N采用KCl溶液浸提,靛酚蓝比色法测定;TP采用NaOH熔融法前处理,钼蓝比色法测定;AP采用Olsen法;TK采用NaOH熔融法前处理,火焰光度法测定;AK采用 NH_4Ac 溶液浸提,火焰光度法测定[18].

1.4.2 土壤团聚体分析

机械性团聚体和水稳性团聚体采用萨维诺夫干筛法和湿筛法,分离出:>5、5~2、2~1、1~0.5、0.5~0.25 和 < 0.25 mm 粒级的团聚体,优势粒级为该处理土壤团聚体含量最高粒级,且满足该粒级高于其他粒级 2%,劣势粒级为该处理土壤团聚体含量最低粒级,且满足该粒级低于其他粒级 $2\%^{[19]}$;将湿筛法获得的各粒级土样研磨过 0.25 mm 的筛,于室温下保存,采用 $K_2Cr_2O_7$ - H_2SO_4 外加热法测定各粒级团聚体有机碳.

某粒级团聚体有机碳贡献率 = $\frac{$ 该粒级团聚体有机碳含量 × 该粒级团聚体含量 $}{$ 土壤总有机碳含量

本试验数据用 Excel 2019进行整理,所有数据结果均用 3次重复的平均值表示.用 IBM SPSS Statistics 26进行统计分析和 Origin 2022b 软件进行图表绘制,用邓肯(Duncan)法进行不同处理平均数之间的多重比较(P < 0.05).

2 结果与分析

2.1 不同改良剂对酸性紫色土 pH、有机质、容重和含水率的影响

如图1所示,对比3次采集土样的pH发现,与CK处理相比,施肥处理均显著提高土壤pH,且呈现上升后,10月至次年3月pH显著降低,3~6月pH小幅度下降,趋于稳定,其中3次pH均为JZ处理效果最显

1.5 数据分析

土壤水稳性团聚体稳定性用平均重量直径 (MWD)、几何平均直径(GMD)、> 0.25 mm 团聚体含量($R_{0.25}$)、分形维数(D)和团聚体破坏率(PAD)指标进行评价^[20],计算公式如下:

$$\mathbf{MWD} = \sum_{i=1}^{n} \bar{x}_{i} W_{i} \tag{1}$$

$$GMD = \exp\left(\sum_{i=1}^{n} W_{i} \ln \overline{x}_{i}\right)$$
 (2)

$$R_{0.25} = 1 - \frac{M_{x < 0.25}}{M_{T}} \tag{3}$$

$$\frac{M_{r < \bar{x}_i}}{M_{\rm T}} = \left[\frac{\bar{x}_i}{x_{\rm max}} \right]^{3-D} \tag{4}$$

$$PAD = \frac{DR_{0.25} - WR_{0.25}}{DR_{0.25}} \times 100\%$$
 (5)

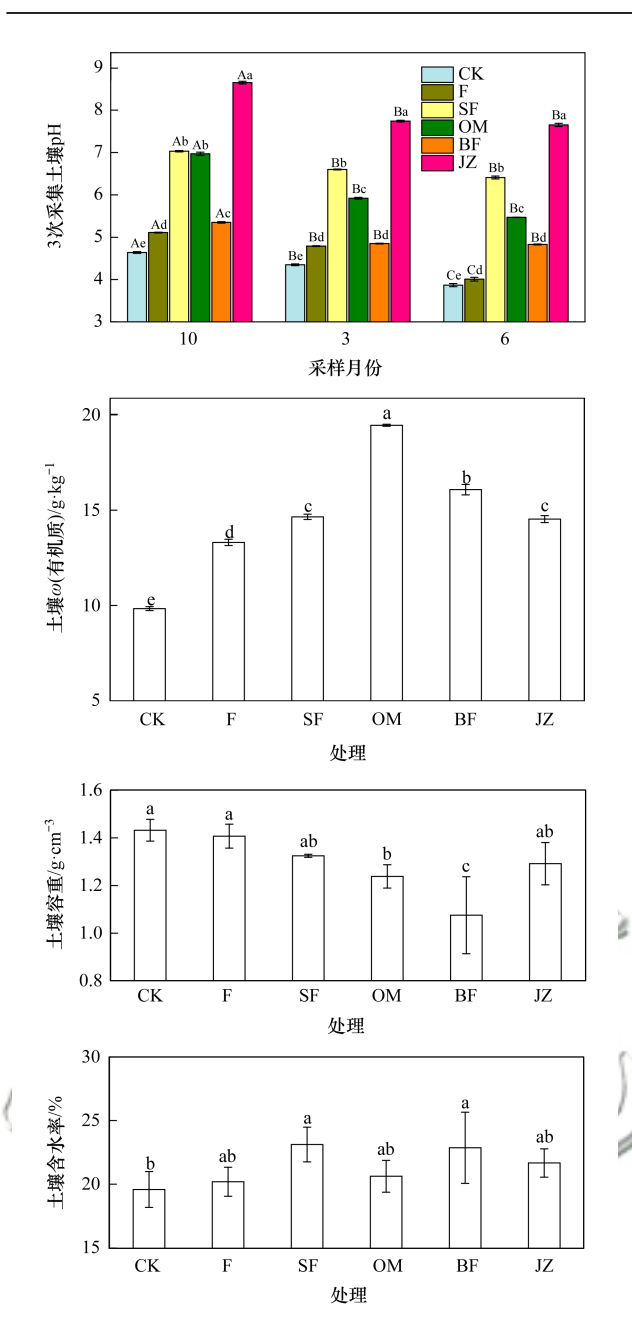
式中,n 为粒径分组的组数, \bar{x}_i 为i 粒级分组团聚体的平均直径; W_i 为第i 级团聚体的质量; $M_{x<0.25}$ 为 < 0. 25 mm 团聚体的质量; M_T 为团聚体总质量, x_{max} 为最大团聚体平均直径, $DR_{0.25}$ 为 > 0. 25 mm 机械性稳定性团聚体质量分数, $WR_{0.25}$ 为 > 0. 25 mm 水稳性团聚体质量分数.

各粒级团聚体有机碳贡献率计算如公式(6):

著.F、SF、OM、BF和JZ处理相较于CK处理均显著提高了土壤有机质含量35.26%~97.66%,其中OM处理提高幅度最大.对不同处理下土壤容重进行测定发现,与CK相比,所有施肥处理均降低了土壤容重,BF处理的降幅最为明显,相较于CK处理降低了24.90%.与CK处理相比,SF和BF处理分别显著提高土壤含水率18.04%和16.76%,其余3个处理无显著差异.

2.2 不同改良剂对酸性紫色土团聚体粒径分布的 影响

由图 2可知,不同处理土壤水稳性团聚体粒径组成大致呈"V"型趋势,其中各处理团聚体占比最大的粒级均是 < 0.25 mm,约占31.66% ~ 49.32%,占比最

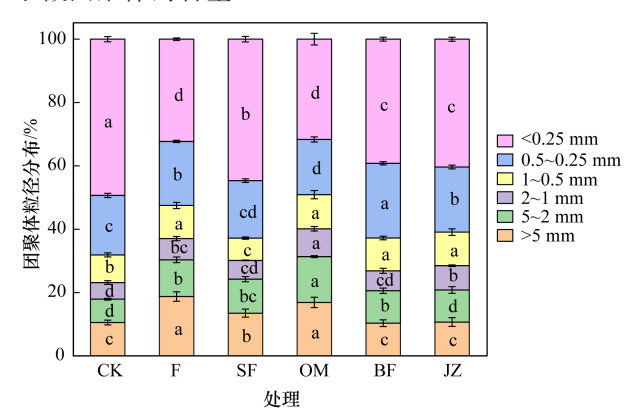


不同大写字母表示不同采样时期同一施肥处理之间差异显著,不同小写字母表示不同施肥处理之间差异显著(P < 0.05); CK:不施肥,F:常规施肥,SF:化肥+石灰,OM:化肥+有机肥,BF:化肥+生物炭,JZ:化肥+酒糟灰渣,下同

图 1 不同改良剂对土壤 pH、有机质、容重和含水率的影响 Fig. 1 Effects of different modifiers on soil pH, organic matter, bulk density, and water content

小的粒级均是 $2 \sim 1 \text{ mm}$,约占 $5.24\% \sim 8.80\%$. 其中 CK、BF和 JZ 处理各粒级团聚体分布规律一致.与 CK 处理相比,F 处理均显著提高了 > 5、 $5 \sim 2$ 、 $2 \sim 1$ 、 $1 \sim 0.5 和 0.5 \sim 0.25 \text{ mm 粒级团聚体含量,SF 处理显著提高了 <math>> 5$ 和 $5 \sim 2$ mm 粒级团聚体的含量,OM 处理显著提高了 > 5、 $5 \sim 2$ 、 $2 \sim 1$ 和 $1 \sim 0.5$ mm 粒级团聚体的含量,BF 处理显著提高了 $5 \sim 2$ 、 $1 \sim 0.5$ 和 $0.5 \sim 0.25$ mm 粒级团聚体含量,JZ处理显著提高了 $5 \sim 2$ 、 $2 \sim 1$ 、 $1 \sim 0.5$ 和 $0.5 \sim 0.25$ mm 粒级团聚体含

量.可见,施肥均提高了土壤大中团聚体含量,减少了微团聚体的含量.



不同小写字母表示不同施肥处理之间差异显著(P<0.05),下同 图2 不同处理土壤团聚体粒径分布特征

Fig. 2 Particle size distribution characteristics of soil aggregates under different treatments

2.3 不同改良剂对有机碳含量和酸性紫色土团聚体稳定性的影响

不同改良剂对土壤有机碳的影响如图 3 所示,不同处理土壤 ω (有机碳)范围为 5.71~11.28 g·kg⁻¹,其中 OM 处理土壤 ω (有机碳)最高,为 11.28 g·kg⁻¹,显著高于其他处理; CK 处理土壤 ω (有机碳)最低,为 5.71 g·kg⁻¹,F、SF、OM、BF和 JZ 处理的土壤有机碳含量分别是 CK 处理的 1.35、1.49、1.98、1.63 和 1.48 倍,其中 SF和 JZ 处理之间没有显著差异.总的来说,施肥均能显著提高土壤有机碳含量.

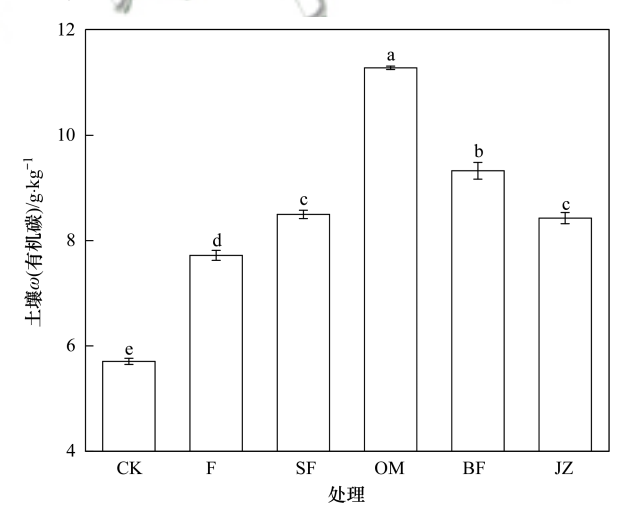


图 3 不同改良剂对土壤有机碳含量的影响

Fig. 3 Effects of different modifiers on soil organic carbon

表2为不同处理对土壤团聚体稳定性的影响,从中可知,与CK相比,各处理显著提高了土壤几何平均直径(GMD)23.08%~82.05%和平均质量直径(MWD)10.26%~57.26%,其中OM处理增幅最显著;各处理显著增加土壤团聚体含量($R_{0.25}$)9.21%~33.64%,其中F处理增幅最显著;各施肥处理显著降

低了分形维数(D)1.41%~4.59%和团聚体破坏率(PAD)9.39%~15.33%,其中F处理降幅最显著.整体而言,施肥处理提高了土壤GMD、MWD和 $R_{0.5}$ 的

值,降低了 D 和 PAD 的值,即相较于不施肥处理,施 肥处理增加了土壤团聚体稳定性,其中化肥配施有 机肥处理的效果最佳.

表 2 不同处理对土壤团聚体稳定性的影响1)

Table 2 Effect of different treatments on soil aggregate stability

处理	GMD/mm	MWD/mm	$R_{0.25} / \%$	D	PAD
CK	0.39±0.01c	$1.17 \pm 0.04 \mathrm{d}$	$50.68 \pm 0.83 \mathrm{d}$	2.83±0.00a	29.94±1.14a
F	0.68±0.01a	1.83±0.07a	67.73±0.40a	$2.71 \pm 0.00 c$	$15.33 \pm 0.50 d$
SF	$0.48 \pm 0.01 \mathrm{b}$	$1.45 \pm 0.05 \mathrm{b}$	55.35±0.89e	$2.79 \pm 0.01 \mathrm{b}$	26.21±1.18b
OM	0.71±0.05a	1.84±0.10a	68.34±1.84a	2.70±0.02e	$16.73 \pm 2.25 d$
BF	$0.48 \pm 0.00 \mathrm{b}$	$1.29 \pm 0.02 e$	60.82±0.60b	$2.79 \pm 0.00 \mathrm{b}$	$27.13 \pm 0.72 b$
JZ	$0.49 \pm 0.01 \mathrm{b}$	$1.32 \pm 0.05 e$	58.65±0.64b	$2.78 \pm 0.00 \mathrm{b}$	$20.59 \pm 0.86 c$

1)数据为3次重复的平均值±标准误;组间不同小写字母表示不同处理下土壤养分差异显著(P<0.05),下同

2.4 不同施肥处理对酸性紫色土团聚体有机碳含量及有机碳贡献率的影响

不同处理对土壤团聚体有机碳分布的影响如表 3 所示,从中可知,除 CK 处理外,随着团聚体粒径增大,各处理团聚体有机碳分布大致呈倒"V"型趋势,其中 F、SF、OM 和 BF 处理均是 2~1 mm 粒级团聚体有机碳含量最高,而 JZ 处理则是 1~0.5 mm 粒级团聚体有机碳含量最高.与 CK 处理相比,F 处理显著增加了 5~2、2~1、1~0.5、0.5~0.25 和 < 0.25 mm 粒级团聚体有机碳含量,SF、OM、BF 和 JZ 处理

则增加了各粒级团聚体有机碳含量,SF处理增加了7.41%~118.79%,OM处理增加了31.71%~209.67%,BF处理增加了21.95%~191.28%,JZ处理增加了7.51%~170.84%.与F处理相比,OM和BF处理显著增加了各粒级团聚体有机碳含量,JZ处理增加了除2~1 mm粒级团聚体外其余粒级团聚体的有机碳含量.可见,配施有机肥及生物炭和酒糟灰渣还田相较于单施化肥对提高土壤各粒级团聚体有机碳含量的效果更好,其中以化肥配施有机肥处理效果最好.

表 3 不同处理各粒级团聚体有机碳含量

Table 3 Organic carbon content of aggregates of different particle sizes under different treatments

1 70.74	11 / 400	1 9 11 1	// / /	1 10 10 10 10	1	
· 处理	100		土壤ω(有机	几碳)/g•kg ⁻¹	3	
处理	> 5 mm	5 ~ 2 mm	2 ~ 1 mm	1 ~ 0.5 mm	0.5 ~ 0.25 mm	< 0.25 mm
CK	$6.08 \pm 0.29 \mathrm{c}$	$10.79 \pm 0.80 \mathrm{b}$	9.41±0.38d	$6.31 \pm 1.18e$	$3.30 \pm 0.44 d$	$5.33 \pm 0.29 d$
F	$5.46 \pm 1.29 c$	10.93 ± 0.23 b	18.33 ± 0.33 b	$12.35 \pm 0.31 d$	$5.04 \pm 0.51 c$	5.96±0.12c
SF	$7.79 \pm 0.33 \mathrm{b}$	$11.59 \pm 1.09 \mathrm{b}$	$18.64 \pm 0.01 \mathrm{b}$	$11.73 \pm 0.32 d$	7.22±0.30a	6.70±0.22ab
OM	10.20±0.29a	14.93±0.05a	20.50±0.18a	19.54±0.86a	7.74±0.27a	7.02±0.48a
BF	$7.93 \pm 0.29 \mathrm{b}$	14.18±0.38a	20.08±0.30a	$18.38 \pm 0.40 \mathrm{b}$	$5.93 \pm 0.28 \mathrm{b}$	$6.50 \pm 0.05 \mathrm{b}$
JZ	$7.99 \pm 0.14 \mathrm{b}$	11.60 ± 0.12 b	12.66±0.86c	$17.09 \pm 0.90 c$	$5.67 \pm 0.59 \mathrm{b}$	6.04±0.12e

如图 4 所示,不同处理土壤有机碳主要分布在 > 0.25 mm 粒级团聚体中,贡献率为 54.40% ~ 80.38%.与 CK 处理相比,各处理均提高了大团聚体(> 2 mm)中有机碳贡献率,增幅为 19.34% ~ 47.76%,其中 OM 处理效果最为显著.各处理土壤团聚体有机碳最低贡献率分布的粒级则无明显规律,CK 处理团聚体有机碳贡献率以 2 ~ 1 mm 粒级最低,F、BF和 JZ 处理团聚体有机碳贡献率以 > 5 mm 粒级最低,SF 处理团聚体有机碳贡献率以 1 ~ 0.5 mm 粒级最低,OM 处理团聚体有机碳贡献率以 0.5 ~ 0.25 mm 粒级最低,OM 处理团聚体有机碳贡献率以 0.5 ~ 0.25 mm 粒级最低.与 CK 处理相比,施肥处理提高了 5 ~ 2、2 ~ 1 和 0.5 ~ 0.25 mm 粒级团聚体的有机碳贡献

率,其中以2~1 mm粒级效果最为显著.

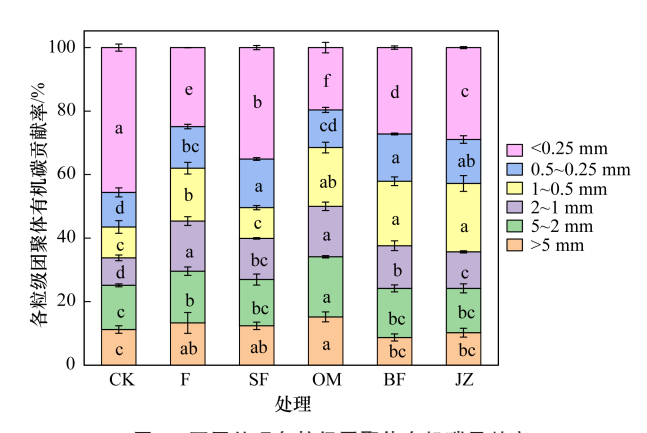


图 4 不同处理各粒级团聚体有机碳贡献率

Fig. 4 Effects of different treatments on soil organic carbon

3 讨论

3.1 不同改良剂对土壤 pH、有机质、容重和含水量的影响

本研究中生物炭施用量较大,而石灰施用量较 小,但石灰处理对土壤pH的提升效果要远远好于生 物炭处理.一方面,本试验施用生石灰的主要成分 为CaO,能直接中和土壤中的H⁺且生石灰溶于土壤 溶液后会大幅增加土壤中的钙离子,钙离子置换土 壤胶体吸附的氢离子和铝离子而降低 pH. 另一方 面,本研究采用的是稻壳生物炭,粒径较大,导致生 物炭中的碱性物质难以释放[21]. 同时酒糟灰渣在改 良土壤酸化方面的效果最好,这是因为酒糟灰渣自 身 pH 值为 12.63,还田后灰渣中的碱性物质直接中 和土壤中的酸,同时酒糟灰渣含有丰富的钙、镁和硫 等矿质元素,这些阳离子能与铝离子竞争交换位点, 降低土壤中的潜性酸,起到减轻铝毒的作用[22]. 本研 究发现,相较于CK处理,施肥处理在一定程度上均 降低了土壤容重,施用改良剂处理的土壤容重低于 单施化肥处理和不施肥处理,与李玮等[23]和周橡 棋[24]研究的结果一致. 其中BF处理降幅最大,说明 生物炭降低土壤容重的效果最好,这是因为生物炭 相较于其他改良剂具有生物化学稳定性的特点,施 入土壤中发挥作用时间长,且其本身及腐解后形成 的腐殖质疏松多孔,有利于增加土壤孔隙度[25]. 在本 研究中,施用石灰和生物炭对土壤含水率的效果较 好,这是因为石灰自身呈强碱性,还田后改善土壤酸 化,减弱土壤的板结作用,增强土壤的持水力;在土 壤中施用具有多孔结构、亲水性的生物炭后,增加了 土壤水分累积渗入量和渗入速率,提高土壤的保水 持水能力[26].

3.2 不同改良剂对土壤团聚体组成及其稳定性的 影响

土壤团聚体的粒径分布和稳定性是衡量土壤质量的重要指标.本研究结果表明单施化肥、化肥配施有机肥、化肥配施生物炭和化肥配施酒糟灰渣可以提高土壤大中团聚体含量,减少微团聚体的含量,这与刘新梅^[27]研究的结果相似,他们研究发现在复垦土壤中施用腐殖酸和泥炭,会增加土壤中大中团聚体含量,而微团聚体的含量会相应减少,这可能是因为施用化肥会增加土壤中的胶结物质,有利于微团聚体胶结形成大中团聚体,同时微团聚体也会被有机物质胶结成大团聚体,从而导致土壤中大中团聚体的增加和微团聚体的减少^[28].生物炭和酒糟灰渣拥有较大的比表面积,且富含有机质,具有很强的吸附整合能力,有利于团聚体的形成.本研究结果还

发现,化肥配施石灰也能促使大中团聚体的增加和微团聚体的减少,这与吴海勇等[29]关于土壤改良剂(腐殖酸钾、熟石灰)的施用能增加大水稳性团聚体数量的研究结果一致,这可能是因为施肥能为土壤微生物提供丰富的养分,这与施用石灰能够改良酸化土壤 pH 和土壤微生物环境形成了积极的正面效应[22].

本试验结果发现施肥均能提高土壤团聚体稳定性,其中以化肥配施有机肥的效果最佳,这与吴宪等^[30]研究的结果一致,他们研究发现化肥配施秸秆和有机肥可以提高土壤团聚体稳定性.这是因为有机肥与化肥配施能够为土壤提供丰富的外源有机质,直接向土壤中补充大量的活性有机物质,这些有机物质在微生物的分解下为团聚体的形成提供了所需的有机无机胶结物质,同时还会激发土壤生物活性,从而使小粒级团聚体胶结形成大团聚体,提高了土壤的团聚程度,进而提高大团聚体含量,并增强其稳定性^[31].

土壤 GMD、MWD和 $R_{0.25}$ 是土壤团聚体稳定性的关键指标,它们的值越高,土壤对侵蚀和耕作抵抗力越好^[32]. 在本研究中,与 CK 处理相比,各施肥处理均显著提高 GMD、MWD和 $R_{0.25}$,显著降低 D和 PAD. 其中有机肥配施化肥处理在提高团聚体稳定性方面效果最为显著,这是因为随着有机质的添加,促进了土壤中大团聚体的形成,这也反过来增强了土壤大团聚体对有机碳的物理保护作用^[33]. 同时大团聚体的形成与土壤微生物在分解过程中产生的有机酸和多糖有关,而有机肥施人后会促进微生物活动,且其本身含有大量的有机酸,进而促进了土壤大团聚体的形成^[34-36].

3.3 不同改良剂对土壤有机碳的影响

本研究结果表明,SF、OM、BF和JZ处理较F处理均能显著提高土壤有机碳含量,OM处理的效果最好,说明化肥配施有机、无机物料均能提高土壤有机碳含量,以有机肥处理的效果最好,其次是生物炭处理,施用有机肥和生物炭直接增加了土壤的碳投入,此外,有机肥相较于其他处理显著提高了土壤中大团聚体含量,Feng等[37]研究表明大团聚体对有机碳形成物理保护降低土壤微生物对碳的分解.生物炭通过促进腐殖质及碳水化合物等有机大分子的形成提高有机碳含量[38],另外有研究表明,生物炭的输入可有效降低紫色土因土壤侵蚀流失的有机碳含量[39].在本研究中,各施肥处理均能提高各粒级团聚体有机碳含量,大致规律是:随着团聚体粒级的减小,团聚体有机碳含量呈现倒"V"趋势,即先增加后减小.比较同一施肥处理下不同粒级的团聚体含量

发现,F、SF、OM和BF处理均是2~1 mm粒级团聚体有机碳含量最高,而JZ处理则是1~0.5 mm粒级,这是因为酒糟灰渣质轻、粒径小,且自身碳含量较高,还田后多与土壤小颗粒结合^[40].除OM处理外,其余处理0.5~0.25 mm粒级团聚体有机碳含量最低,这可能与不同粒级团聚体有机碳来源不同及改良剂还田后激发的土壤效应有关^[41].

本研究表明各处理有机碳主要集中在 > 0.25 mm 粒级团聚体中,贡献率为54.40%~80.38%. 通过 分析不同处理各粒级团聚体有机碳贡献率发现,各 处理土壤团聚体有机碳最低贡献率的分布粒级无明 显规律,这是因为不同有机、无机物料在土壤中的分 解速率和残留量存在差异,且不同施肥下作物生物 量、根系残茬的影响不同而使得碳输入水平不同,导 致不同施肥措施下各粒级团聚体的有机碳贡献率不 同[42,43]. 分析各粒级团聚体有机碳含量和贡献率发 现,各处理<0.25 mm 粒级的团聚体有机碳含量最 低,但是该粒级团聚体有机碳贡献率最高,这与冯秋 苹等[44]研究结果不同,他们在以碳酸盐黑钙土为试 验土壤的研究中发现,不同处理以>2 mm 粒级的团 聚体有机碳贡献率最高.一方面是因为该粒级团聚 体有机碳的贡献率是由团聚体含量和该团聚体有机 碳含量共同决定.另一方面,成土母质、试验区气候 和耕作措施等的不同也会造成团聚体有机碳贡献率 的差异[45]

4 结论

- (1)施肥处理均显著提高土壤 pH(P < 0.05),以 化肥配施酒糟灰渣效果最显著;施肥均显著提高了 土壤有机质含量(P < 0.05),以化肥配施有机肥效果 最好;化肥配施生物炭和有机肥能显著降低土壤容 重(P < 0.05);化肥配施石灰和生物炭能显著提高土 壤含水率(P < 0.05).
- (2)施肥处理均能促进土壤团聚体的团聚化和稳定性,具体表现为各施肥处理均显著提高了土壤大团聚体(>0.25 mm)的含量,显著提高GMD、MWD和 $R_{0.25}$ 值,显著降低D和PAD值(P<0.05),以OM处理效果最显著.
- (3)随着团聚体粒径增大,各施肥处理团聚体有机碳分布大致呈倒"V"型趋势,不同处理土壤有机碳主要分布在大团聚体(>0.25 mm)中,贡献率为54.40%~80.38%.
- (4)综合来看,化肥配施有机肥能提高酸性紫色 土团聚体稳定性、增加有机碳含量和改善土壤结构, 是修复酸化紫色土和提高耕地质量的有效途径.

参考文献:

- [1] 罗晓虹, 王子芳, 陆畅, 等. 土地利用方式对土壤团聚体稳定性和有机碳含量的影响[J]. 环境科学, 2019, **40**(8): 3816-3824.

 Luo X H, Wang Z F, Lu C, *et al.* Effects of land use type on the content and stability of organic carbon in soil aggregates [J].
- Environmental Science, 2019, 40(8): 3816-3824.

 [2] Yin Y, Liang C H, Pei Z J. Effect of greenhouse soil management on soil aggregation and organic matter in northeast China [J]. CATENA, 2015, 133: 412-419.
- [3] Das B, Chakraborty D, Singh V K, et al. Effect of integrated nutrient management practice on soil aggregate properties, its stability and aggregate-associated carbon content in an intensive rice-wheat system [J]. Soil and Tillage Research, 2014, 136: 9-18
- [4] Duan Q N, Lee J, Liu Y S, et al. Distribution of heavy metal pollution in surface soil samples in China: A graphical review[J]. Bulletin of Environmental Contamination and Toxicology, 2016, 97 (3): 303-309.
- [5] Balesdent J, Chenu C, Balabane M. Relationship of soil organic matter dynamics to physical protection and tillage [J]. Soil and Tillage Research, 2000, 53(3-4): 215-230.
- [6] Six J, Elliott E T, Paustian K, et al. Aggregation and soil organic matter accumulation in cultivated and native grassland soils [J]. Soil Science Society of America Journal, 1998, 62 (5): 1367-1377.
- [7] Tisdall J M, Oades J M. Organic matter and water-stable aggregates in soils [J]. Journal of Soil Science, 1982, 33 (2): 141-163.
- [8] Six J, Conant R T, Paul E A, et al. Stabilization mechanisms of soil organic matter: Implications for C-saturation of soils[J]. Plant and Soil, 2002, 241(2): 155-176.
- [9] Sollins P, Homann P, Caldwell B A. Stabilization and destabilization of soil organic matter: Mechanisms and controls[J]. Geoderma, 1996, 74(1-2): 65-105.
- [10] 张辉,宋琳,陈晓琳,等. 土壤退化的原因与修复作用研究[J]. 海洋科学, 2020, **44**(8): 147-161.

 Zhang H, Song L, Chen X L, *et al.* Study on the causes and remediation of soil degradation [J]. Marine Science, 2020, **44** (8): 147-161.
- [11] 冷暖. 南亚热带赤红壤团聚体稳定性及其降雨溅蚀响应[D]. 南宁: 广西大学, 2022.

 Leng N. Aggregate stability of lateritic red soil and its response to rain fall splash erosion south subtropical zone [D]. Nanning: Guangxi University, 2022.
- [12] 苏有健、皖南茶园土壤酸化特征及其调控机制的研究[D]. 杭州: 浙江大学, 2018.
 Su Y J. Study on soil acidification characteristics and regulation mechanism of tea gardens in southern Anhui province [D]. Hangzhou: Zhejiang University, 2018.
- [13] Aye N S, Sale P W G, Tang C X. The impact of long-term liming on soil organic carbon and aggregate stability in low-input acid soils [J]. Biology and Fertility of Soils, 2016, 52(5): 697-709.
- [14] Chan K Y, Conyers M K, Scott B J. Improved structural stability of an acidic hardsetting soil attributable to lime application [J]. Communications in Soil Science and Plant Analysis, 2007, 38(15-16): 2163-2175.
- [15] Alagöz Z, Yilmaz E. Effects of different sources of organic matter on soil aggregate formation and stability: A laboratory study on a Lithic Rhodoxeralf from Turkey [J]. Soil and Tillage Research,

- 2009, 103(2): 419-424.
- [16] 代文才, 钱盛, 高明, 等. 施用生物质灰渣对柑橘园土壤团聚体及有机碳分布的影响[J]. 水土保持学报, 2016, **30**(2): 260-265, 271.
 - Dai W C, Qian S, Gao M, et al. Effects of biomass ash application on soil aggregates and organic carbon distributions of citrus orchard soils [J]. Journal of Soil and Water Conservation, 2016, 30(2): 260-265, 271.
- [17] 邓华,高明,龙翼,等.生物炭和秸秆还田对紫色土旱坡地土壤团聚体与有机碳的影响[J].环境科学,2021,42(11):5481-5490
 - Deng H, Gao M, Long Y, et al. Effects of Biochar and straw return on soil aggregate and organic carbon on purple soil dry slope land [J]. Environmental Science, 2021, 42(11): 5481-5490.
- [18] 鲁如坤. 土壤农业化学分析方法[M]. 北京: 中国农业科技出版社, 2000.
- [19] Cambardella C A, Elliott E T. Carbon and nitrogen dynamics of soil organic matter fractions from cultivated grassland soils[J]. Soil Science Society of America Journal, 1994, 58(1): 123-130.
- [20] 杨培岭, 罗远培, 石元春. 用粒径的重量分布表征的土壤分形特征[J]. 科学通报, 1993, **38**(20): 1896-1899.
- [21] 刘洋. 田间试验下石灰与生物质炭施用对雷竹林酸化土壤的改良效应研究[D]. 杭州: 浙江农林大学, 2021. Liu Y. The amelioration effects of lime and Biochar on an acidified bamboo (*Phyllostachys praecox*) plantation soil: a field study[D]. Hangzhou: Zhejiang A & F University, 2021.
- [22] Bolan N, Sarmah A K, Bordoloi S, et al. Soil acidification and the liming potential of biochar [J]. Environmental Pollution, 2023, 317, doi: 10.1016/j. envpol. 2022. 120632.
- [23] 李玮, 孔令聪, 张存岭,等. 长期不同施肥模式下砂姜黑土的 固碳效应分析[J]. 土壤学报, 2015, **52**(4): 943-949. Li W, Kong L C, Zhang C L, *et al.* Effect of long-term fertilization on carbon sequestration in lime concretion black soil relative to fertilization pattern [J]. Acta Pedologica Sinica, 2015, **52**(4): 943-949.
- 943-949.

 [24] 周核棋. 不同养分管理措施对华中地区 4 种典型轮作制度的 土壤物理性质影响初探[D]. 武汉: 华中农业大学, 2022.

 Zhou X Q. Preliminary study on the effects of different nutrient management measures on soil physical properties of four typical crop rotation systems in central China [D]. Wuhan: Huazhong Agricultural University, 2022.
- [25] 张雨萌, 郭艳杰, 张丽娟, 等. 生物炭配合深松对土壤团聚体及有机碳的影响[J]. 水土保持通报, 2022, **42**(5): 368-375, 385.

 Zhang Y M, Guo Y J, Zhang L J, *et al.* Effects of Biochar combined with subsoiling on soil aggregates and organic carbon[J].

 Bulletin of Soil and Water Conservation, 2022, **42**(5): 368-
- [26] 魏永霞, 王鶴, 刘慧, 等. 生物炭对黑土区土壤水分及其人渗性能的影响[J]. 农业机械学报, 2019, **50**(9): 290-299. Wei Y X, Wang H, Liu H, *et al.* Effect of Biochar on Soil moisture and its infiltration performance in black soil AREA [J]. Transactions of the Chinese Society for Agricultural Machinery, 2019, **50**(9): 290-299.
- [27] 刘新梅. 改良剂对复垦土壤团聚体分布及有机碳组成和含量的影响[D]. 晋中: 山西农业大学, 2021.

 Liu X M. Effects of amen dments on the distribution of soil aggregates and organic carbon component and content in reclaimed soil[D]. Jinzhong: Shanxi Agricultural University, 2021.
- [28] 高洪军,彭畅,张秀芝,等. 秸秆还田量对黑土区土壤及团聚

- 体有机碳变化特征和固碳效率的影响[J]. 中国农业科学, 2020, **53**(22): 4613-4622.
- Gao H J, Peng C, Zhang X Z, et al. Effects of corn straw returning amounts on carbon sequestration efficiency and organic carbon change of soil and aggregate in the black soil area [J]. Scientia Agricultura Sinica, 2020, 53(22): 4613-4622.
- [29] 吴海勇, 李明德, 刘琼峰, 等. 不同土壤改良剂在红壤旱地上的应用效果[J]. 湖南农业科学, 2010, (11): 45-47, 50. Wu H Y, Li M D, Liu Q F, et al. Effects of applying different soil amendments to red soil dry-land[J]. Hunan Agricultural Sciences, 2010, (11): 45-47, 50.
- [30] 吴宪, 张婷, 王蕊, 等. 化肥减量配施有机肥和秸秆对华北潮 土团聚体分布及稳定性的影响[J]. 生态环境学报, 2020, **29** (5): 933-941.
 - Wu X, Zhang T, Wang R, et al. Effects of chemical fertilizer reduction combined with application of organic fertilizer and straw on fluvo-aquic soil aggregate distribution and stability in North China [J]. Ecology and Environmental Sciences, 2020, 29 (5): 933-941.
- [31] Zhang J J, Wei Y X, Liu J Z, et al. Effects of maize straw and its biochar application on organic and humic carbon in water-stable aggregates of a mollisol in Northeast China; A five-year field experiment[J]. Soil and Tillage Research, 2019, 190: 1-9.
- [32] Zhang Q Q, Song Y F, Wu Z, et al. Effects of six-year biochar amendment on soil aggregation, crop growth, and nitrogen and phosphorus use efficiencies in a rice-wheat rotation [J]. Journal of Cleaner Production, 2020, 242, doi: 10.1016/j. jclepro. 2019. 118435.
- [33] Du Z L, Wu W L, Zhang Q D, et al. Long-term manure amendments enhance soil aggregation and carbon saturation of stable pools in north China plain [J]. Journal of Integrative Agriculture, 2014, 13(10): 2276-2285.
- [34] Li T T, Zhang Y L, Bei S K, et al. Contrasting impacts of manure and inorganic fertilizer applications for nine years on soil organic carbon and its labile fractions in bulk soil and soil aggregates [J]. CATENA, 2020, 194, doi: 10.1016/j. catena. 2020.104739.
- [35] Bronick C J, Lal R. Soil structure and management; a review[J]. Geoderma, 2005, 124(1-2); 3-22.
- [36] Yu H Y, Ding W X, Luo J F, et al. Effects of long-term compost and fertilizer application on stability of aggregate-associated organic carbon in an intensively cultivated sandy loam soil[J]. Biology and Fertility of Soils, 2012, 48(3): 325-336.
- [37] Feng X, Xia X, Chen S T, et al. Amendment of crop residue in different forms shifted micro-pore system structure and potential functionality of macroaggregates while changed their mass proportion and carbon storage of paddy topsoil [J]. Geoderma, 2022, 409, doi: 10.1016/j. geoderma. 2021. 115643.
- [38] Liu S H, Kong F L, Li Y, et al. Mineral-ions modified biochars enhance the stability of soil aggregate and soil carbon sequestration in a coastal wetland soil[J]. CATENA, 2020, 193, doi: 10. 1016/j. catena. 2020. 104618.
- [39] 毛霞丽,陆扣萍,何丽芝,等.长期施肥对浙江稻田土壤团聚体及其有机碳分布的影响[J].土壤学报,2015,52(4):828-838.
 - Mao X L, Lu K P, He L Z, et al. Effect of long-term fertilizer application on distribution of aggregates and aggregate-associated organic carbon in paddy soil[J]. Acta Pedologica Sinica, 2015, 52 (4): 828-838.
- [40] 张健乐,曾小英,史东梅,等.生物炭对紫色土坡耕地侵蚀性

耕层土壤有机碳的影响[J]. 环境科学, 2022, **43**(4): 2209-2218.

Zhang J L, Zeng X Y, Shi D M, et al. Effects of Biochar on soil organic carbon of eroded cultivated layer of slope farmland in Purple Hilly Area [J]. Environmental Science, 2022, 43 (4): 2209-2218.

[41] 高鸣慧,李娜,彭靖,等. 秸秆和生物炭还田对棕壤团聚体分布及有机碳含量的影响[J]. 植物营养与肥料学报,2020,26 (11):1978-1986.

Gao M H, Li N, Peng J, et al. Effects of straw and biochar returning on soil aggregates distribution and organic carbon content in brown soil[J]. Journal of Plant Nutrition and Fertilizers, 2020, 26(11): 1978-1986.

[42] 李辉信, 袁颖红, 黄欠如, 等. 不同施肥处理对红壤水稻土团聚体有机碳分布的影响 [J]. 土壤学报, 2006, 45(3): 422-429.

Li H X, Yuan Y H, Huang Q R, et al. Effects of fertilization on soil organic carbon distribution in various aggregates of Red Paddy Soil[J]. Acta Pedologica Sinica, 2006, **45**(3): 422-429.

[43] 徐阳春, 沈其荣. 长期施用不同有机肥对土壤各粒级复合体中 C、N、P含量与分配的影响[J]. 中国农业科学, 2000, 33 (5): 65-71.

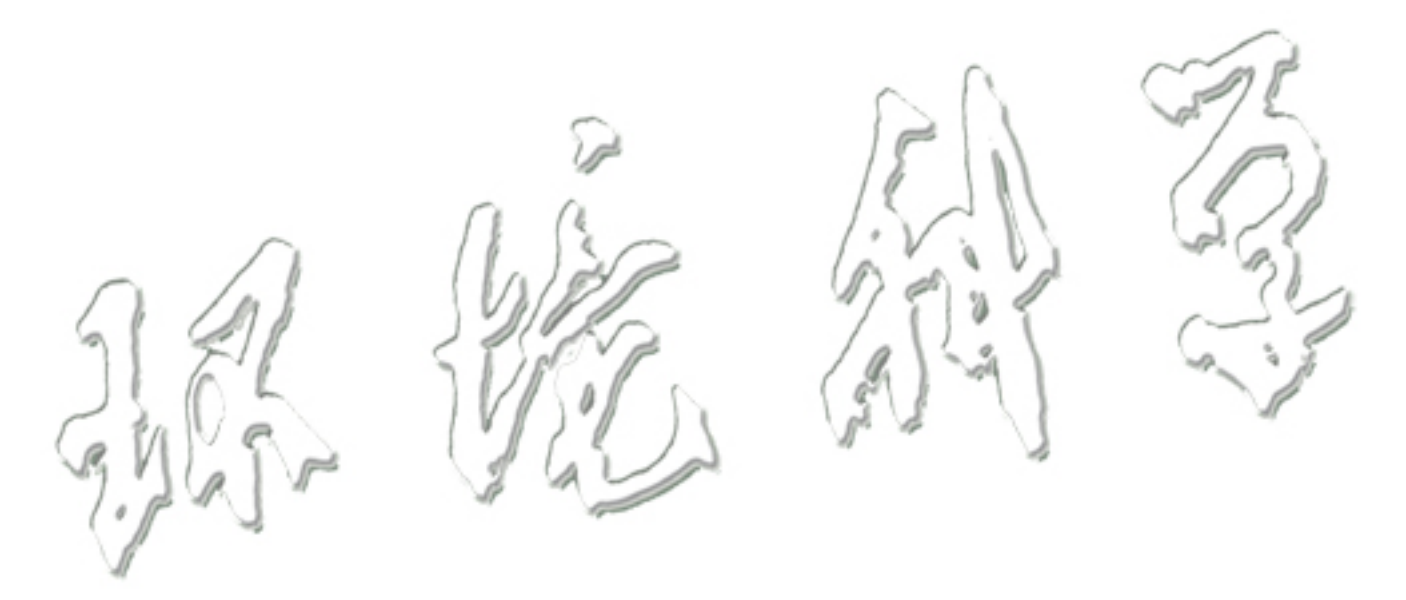
Xu Y C, Shen Q R. Influence of long-term application of manure on the contents and distribution of Organic C, Total N and P in soil particle-sizes [J]. Scientia Agricultura Sinica, 2000, 33 (5): 65-71.

[44] 冯秋苹,刘玉涛,郭勇智,等.不同秸秆还田方式对土壤团聚体稳定性及有机碳含量的影响[J]. 吉林农业大学学报,2023,45(5):564-571.

Feng Q P, Liu Y T, Guo Y Z, et al. Effects of different straw returning to fields methods on the stability of soil aggregates and organic carbon [J]. Journal of Jilin Agricultural University, 2023, 45(5): 564-571.

[45] 朱锟恒,段良霞,李元辰,等.土壤团聚体有机碳研究进展[J].中国农学通报,2021,37(21):86-90.

Zhu K H, Duan L X, Li Y C, *et al.* Research progress of organic carbon in soil aggregates [J]. Chinese Agricultural Science Bulletin, 2021, **37**(21): 86-90.



HUANJING KEXUE

Environmental Science (monthly)

Vol. 45 No. 2 Feb. 15, 2024

CONTENTS

Impacts of Anthropogenic Emission Reduction on Urban Atmospheric Oxidizing Capacity During the COVID-19 Lockdown ——ZHU Jian-lan, QIN Mo-mei, ZHU Yan-hong, et al. (617) Transport and Potential Sources Regions of Double High Pollution in Nanjing by Different Synoptic Situations ——QIN Yang, HU Jian-lin, KONG Hai-jiang (626) Differences of Three Methods in Determining Ozone Sensitivity in Nanjing ————————————————————————————————————
Characteristics of Ozone Concentration in Shanghai and Its Associated Atmospheric Circulation Background During Summer Half-years from 2006 to 2021 ——————————————————————————————————
Distribution Characteristics of Near Surface Ozone Volume Fraction in Shanxi Province Based on Atmospheric Composition Observation Network
LI Ying, WANG Shu-min, PEI Kun-ning, et al. (655)
Photochemical Mechanism and Control Strategy Optimization for Summertime Ozone Pollution in Yining City
Characteristics, Sources, and Ozone-sensitive Species of VOCs in Four Seasons in Yuncheng
Pollution Characteristics, Source Analysis, and Activity Analysis of Atmospheric VOCs During Winter and Summer Pollution in ZhengzhouLAI Meng jie, ZHANG Dong, YU Shi-jie, et al. (689)
Pollution Characteristics, Sources, and Secondary Generation of Organic Acids in PM _{2.5} in ZhengzhouLl Zi-han, DONG Zhe, SHANG Lu-qi, et al. (700)
Nonlinear Variations in PM _{2.5} Concentration in the Three Major Urban Agglomerations in China
Dynamic Analysis on Carbon Metabolism of the Northern Region of China Under the Background of Carbon Emission Trading PolicyZHENG Hong-mei, SHEN Fang, XU Guang-yao, et al. (732) Carbon Reduction Analysis of Life Cycle Prediction Assessment of Hydrogen Fuel Cell Vehicles: Considering Regional Features and Vehicle Type Differences
MA Jing, CAI Xu, ZHANG Chun-mei, et al. (744)
Nitrate Pollution Characteristics and Its Quantitative Source Identification of Major River Systems in China
Effects of Land Use Structure and Spatial Pattern at Different Temporal and Spatial Scales on Water Quality in Suzhou Creek
Spatial-temporal Variation in Water Quality of Rain-source Rivers in Shenzhen from 2015 to 2021 and Its Response to Rainfall
Chemical Characteristics and Genetic Analysis of Karst Groundwater in the Beijing Xishan Area
Hydrochemical Characteristics and Its Origin of Surface Water and Groundwater in Dianbu River Basin ————————————————————————————————————
Hydrochemical Characteristics and Genesis Mechanism of Groundwater in the Dry Period in the Zhangjiakou Area
Distribution of Typical Resistant Bacteria and Resistance Genes in Source Water of the Middle and Lower Reaches of the Yellow RiverMIN Wei, GAO Ming-chang, SUN Shao-fang, et al. (837)
Contamination Characteristics, Detection Methods, and Control Methods of Antibiotic Resistance in Pharmaceutical Wastewater PENG An-ping, GAO Hu, ZHANG Xin-bo (844)
Effect of Water Components on Aggregation and Sedimentation of Polystyrene Nano-plastics
Lead Removal from Water by Calcium-containing Biochar with Saturated Phosphate
Preparation of Unitosan-modified Biochar and Its Adsorption Mechanism for Cd in Aqueous Solution IJANG Ling, AN Jing-yue, 1 UE Atao-qiong, et al. (873) Efficacy and Mechanism of Tetracycline Adsorption by Boron-doped Mesoporous Carbon
Adsorption Properties of Magnetic Phosphorous Camellia Oleifera Shells Biochar to Sulfamethoxazole in Water
High Resolution Emission Inventory of Greenhouse Gas and Its Characteristics in Guangdong, China————————————————————————————————————
Ecosystem CO, Exchange and Its Environmental Regulation of a Restored Wetland in the Liaohe River Estuary Li Usi-qi, CHEN Hong, XING Qing-hui, et al. (920)
Effects of Biochar Application Two Years Later on N,O and CH ₄ Emissions from Rice-Vegetable Rotation in a Tropical Region of China
Research and Application Progress of Biochar in Amelioration of Saline-Alkali Soil WEI Ying, JIAO Le, ZHANG Peng, et al. (940)
Effect of No-tillage on Soil Aggregates in Farmland; A Meta Analysis
Spatio-temporal Evolution and Multi-scenario Simulation of Carbon Storage in Karst Regions of Central Guizhou Province: Taking Puding County as An ExampleLI Yue, LUO Hong-fen (961)
Effects of Different Modifiers on Aggregates and Organic Carbon in Acidic Purple Soil
Effect of Ca Modified Biochar on the Chemical Speciation of Soil Phosphorus and Its Stabilization Mechanism
Plant Diversity Changes and Its Driving Factors of Abandoned Land at Different Restoration Stages in the Middle of the Qinling Mountains YAN Cheng-long, XUE Yue, WANG Yi-fei, et al. (992)
Contamination Characteristics and Ecological Risk of Antibiotics in Contaminated Sites of Typical Pharmaceutical Factories in China
YANG Jiong-bin, HUANG Zheng, ZHAO Jian-liang, et al. (1004)
Pollution Characteristics and Risk Assessment of Polycyclic Aromatic Hydrocarbons in Soils of Guangzhou
Quantifying the Contribution of Soil Heavy Metals to Ecological and Health Risk Sources PAN Yong-xing, CHEN Meng, WANG Xiao-tong (1026)
Potential Ecological Risk Characteristics and Source Apportionment of Heavy Metals in Farmland Soils around Typical Factories in Hunan Province Based on Monte-Carlo Simulation
LUO Hao-jie, PAN Jun, CHEN Xiao-xia, et al. (1038)
Health Risk Assessment for an Arsenic-contaminated Site Based on Monte Carlo Simulation and Parameters Optimization
Pollution Source Apportionment of Heavy Metals in Cultivated Soil Around a Red Mud Yard Based on APCS-MLR and PMF ModelsSHEN Zhi-jie, LI Jie-qin, LI Cai-xia, et al. (1058)
Characteristics and Mechanism of Cd Release and Transport in Soil Contaminated with PE-Cd
Characterization of Reductive Dechlorination of Chlorinated Ethylenes by Anaerobic Consortium
Analysis of Heavy Metal Pollution Evaluation and Correlation of Farmland Soil and Vegetables in Zhaotong City
Safe Utilization Effect of Passivator on Mild to Moderate Cadmium Contaminated Farmland
Simultaneous Immobilization of Cadmium and Arsenic in Paddy Soils with Novel Fe-Mn Combined Graphene Oxide
Effects of the Application of Irrigation Water Containing Zn at the Key Growth Period on the Uptake and Transport of Cd in Rice
Effects of Exogenous Zinc on Growth and Root Architecture Classification of Maize Seedlings Under Cadmium Stress ———————————————————————————————————
Mitigative Effect of Rare Earth Element Cerium on the Growth of Zinc-stressed Wheat (Triticum aestivum L.) SeedlingsZHANG Jing-jing, XU Zheng-yang, JIAO Qiu-juan, et al. (1141) Two-stage Inhibition Effects of Burkholderia sp. Y4 Application on Cadmium Uptake and Transport in WheatGUO Jia-jia, WANG Chang-rong, LIU Zhong-qi, et al. (1150)
Effects of Combined Stress of High Density Polyethylene Microplastics and Chlorimuron-ethyl on Soybean Growth and Rhizosphere Bacterial Community ———————————————————————————————————
Human Accumulation and Toxic Effects of Microplastics: A Critical Review BAO Ya-bo, WANG Cheng-chen, PENG Wu-guang, et al. (1173)
Overview of the Application of Machine Learning for Identification and Environmental Risk Assessment of Microplastics
Research Process on the Combined Pollution of Microplastics and Typical Pollutants in Agricultural Soils
Research Progress in Electrochemical Detection and Removal of Micro/Nano Plastics in WaterZHENG Wei-kang, LIU Zhen-zhong, XIANG Xiao-fang (1210)
Factors Influencing Willingness of Farmers to Pay for Agricultural Non-point Source Pollution Control Based on Distributed Cognitive TheoryGUO Chen-hao, LI Lin-fei, XIA Xian-li (1222)